

**ОТРИЦАТЕЛЬНАЯ ФОТОПРОВОДИМОСТЬ
И ИССЛЕДОВАНИЕ ГРАНИЦЫ РАЗДЕЛА
В ГЕТЕРОПЕРЕХОДАХ GaAs—AlGaAs
С ДВУМЕРНЫМ ЭЛЕКТРОННЫМ ГАЗОМ**

Гродненский И. М., Пинскер Т. Н., Старостин К. В.,
Засавицкий И. И.

Подробно исследован эффект отрицательной фотопроводимости (ОФП) в гетероструктурах GaAs—AlGaAs с двумерным электронным газом, связанный с пространственным оптическим перебросом электронов из высокоподвижного двумерного канала в слой широкозонного материала. Из спектральных зависимостей эффекта определены высота потенциального барьера на гетерогранице, величина энергетического разрыва зоны проводимости $\Delta E_c = -(0.59 \pm 0.01) \Delta E_g$, что неплохо согласуется с результатами других авторов. Предложена феноменологическая модель ОФП, которая хорошо описывает экспериментальные результаты.

Эффект отрицательной фотопроводимости (ОФП) в гетеропереходах GaAs—AlGaAs возникает при освещении гетероперехода светом с энергией кванта, превышающей высоту потенциального барьера ΔE на границе раздела GaAs—AlGaAs, и обусловлен уменьшением концентрации электронов в двумерном канале с высокой подвижностью из-за переброса их в слой широкозонного материала с низкой подвижностью. Идея пространственного переброса носителей заряда при разогреве их током в слоистых полупроводниковых структурах впервые была высказана в [1]. В [2] впервые наблюдались эффект пространственного переброса горячих электронов и связанная с ним отрицательная дифференциальная проводимость в гетероструктурах GaAs—AlGaAs с двумерным электронным газом (ДЭГ).

Исследование спектров ОФП представляет собой прямой и безмодельный метод определения таких принципиальных характеристик гетероперехода, как высота потенциального барьера, энергетический разрыв зон на гетерогранице, форма потенциальной ямы для ДЭГ, положения размерных подзон. Несмотря на интенсивное изучение гетеропереходов GaAs—AlGaAs в последние годы, эти величины до сих пор однозначно не определены. Долгое время считалось, что в гетеропереходах $\text{GaAs}-\text{Al}_x\text{Ga}_{1-x}\text{As}$ для любых значений x справедливо так называемое «правило Дингла» $\Delta E_c = 0.85 \Delta E_g$ [3] (ΔE_c — разрыв зоны проводимости, ΔE_g — разность ширин запрещенных зон в GaAs и $\text{Al}_x\text{Ga}_{1-x}\text{As}$). В настоящее время установлено, что $\Delta E_c/\Delta E_g$ зависит от x и для $x \sim 0.3$ более реальным считается значение $\Delta E_c = 0.6 \Delta E_g$ [4]. Однако и его нельзя считать достоверным, так как ни один из методов определения разрыва зон на гетерогранице, как оптических, так и электрических, не является прямым, а величина $\Delta E_c/\Delta E_g$ очень чувствительна к моделям, используемым при интерпретации экспериментальных данных.

Для определения положения размерных подзон в двумерных системах обычно используется метод межподзонного поглощения. Однако при таких измерениях определяются только энергетические расстояния между подзонами, а прямые эксперименты по определению абсолютного положения первого раз-

мерного уровня E_0 отсутствуют. Расчеты же величины E_0 разными методами дают расхождение до 50 % (см., например, [5]).

Эксперименты проводились на гетероструктурах GaAs—Al_{0.3}Ga_{0.7}As, полученных эпитаксией из молекулярных пучков (МПЭ) и жидкокристаллической эпитаксией (ЖКЭ). Подробно свойства образцов описаны в [6, 7]. ОФП возбуждалась излучением системы полупроводниковых лазеров на основе PbS_{1-x}Se_x и Pb_{1-x}Sn_xSe с энергиями кванта в диапазоне $130 \leq h\nu \leq 290$ мэВ. Вектор электрического поля в электромагнитной волне, возбуждающей ОФП, был ориентирован как перпендикулярно, так и параллельно плоскости гетероперехода. Было проведено большое количество экспериментов по исследованию зависимости сигнала ОФП от поляризации света. Никакой разницы в сигналах обнаружить не удалось. После выключения света происходит спад сигнала ОФП за времена $\sim(1\div5)\cdot10^3$ с. Спад ОФП имеет неэкспоненциальный характер, поэтому в качестве характерного времени спада использовалось время, за которое сигнал ОФП уменьшался вдвое.

Для подтверждения предположения о том, что ОФП связана с пространственным перебросом электронов, были проведены измерения на структурах, у которых

вместо «спейсера» был выращен слой AlAs толщиной $30\div40$ Å. Эксперименты показали, что в диапазоне $130 \leq h\nu \leq 290$ мэВ ОФП практически отсутствует и появляется при $h\nu > 0.6$ эВ, что неплохо согласуется

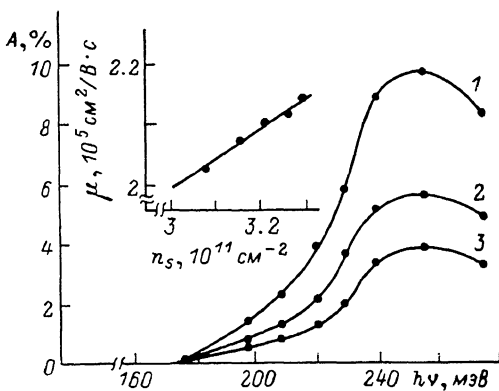


Рис. 1. Спектральные зависимости относительного изменения A полного сопротивления образца $\Delta R/R$ (1), концентрации электронов $\Delta n/n_s$ (2) и подвижности $\Delta\mu/\mu$ (3) в двумерном канале, полученные из измерений ОФП в слабых магнитных полях. На вставке — зависимость подвижности от n_s [%].

с принятymi представлениями о высоте потенциального барьера на границе раздела GaAs—AlAs в точке Г зоны Бриллюэна [8].

В [6] в результате исследований эффекта Шубникова—де-Гааза было доказано, что при освещении гетероперехода светом с $h\nu \approx 200\div240$ мэВ происходит изменение концентрации ДЭГ n_s без изменения электронной температуры. Отсутствие разогрева электронов при освещении было также доказано измерениями холловского и продольного сопротивлений и их изменения под действием света в слабых магнитных полях. На рис. 1 представлены зависимости $\Delta R/R$, $\Delta n/n_s$ и $\Delta\mu/\mu$ от $h\nu$ в образце с $n_s = 3 \cdot 10^{11} \text{ см}^{-2}$. Наблюдаемое изменение подвижности (см. вставку на рис. 1) связано с зависимостью $\mu(n_s)$ [9].

На рис. 2 представлены спектры ОФП для двух МПЭ образцов с разными n_s . Там же для сравнения приведен спектр ОФП для ЖКЭ образца. Видно, что с увеличением n_s красная граница эффекта E_R смещается в сторону меньших энергий, отражая уменьшение ΔE за счет изменения положения E_0 . Кроме того, E_R у МПЭ образцов всегда больше, чем у ЖКЭ образцов с той же n_s . Такое различие может быть связано с разной степенью размытия гетерограницы в образцах, выращенных по разной технологии.

По данным оже-спектроскопии, размытие гетерограницы в МПЭ образцах не превышает $10\div20$ Å. Для оценки ширины переходного слоя δ в ЖКЭ образцах была использована энергетическая диаграмма гетероперехода, предложенная в [10] (см. вставку б на рис. 2). Согласно [10], потенциальная энергия электрона в AlGaAs есть

¹ Обычно в МПЭ образцах толщина нелегированного слоя Al_{0.3}Ga_{0.7}As, примыкающего к GaAs («спейсера»), составляла ~ 150 Å.

$$U(x) = \begin{cases} eF^- |x|, & x < \delta, \\ U_n(x), & x > \delta, \end{cases} \quad (1)$$

где $U_n(x)$ — потенциал обедненного слоя, F^- — электрическое поле в переходной области.

Из решения уравнения Шредингера в потенциальной яме, показанной на вставке к рис. 2, следует, что энергетические уровни в такой яме определяются выражением

$$E_i = [\hbar^2/2m]^{1/2} (eF^+)^{1/2} \gamma_i^i, \quad i = 0, 1, 2, \dots, \quad (2)$$

причем

$$\gamma_0^0 = 2.338 - 1.506\beta + 0.188\beta^2,$$

$$\gamma_1^1 = 4.088 - 1.163\beta + 0.585\beta^2,$$

$\beta = (F^+/F^-)^{1/2}$, F^+ — электрическое поле в GaAs. Скачок потенциальной энергии в резком гетеропереходе ΔE_c можно выразить через экспериментально определяемый порог ОФП как

$$\Delta E_c = U(\delta) + eF^+\delta = eF^+\delta + \Delta E + \Delta E_c. \quad (3)$$

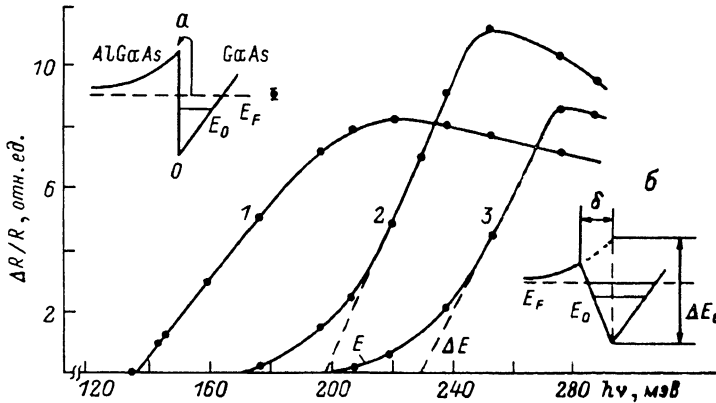


Рис. 2. Спектры ОФП для ЖФЭ образца с $n_s = 3.6 \cdot 10^{11}$ (1), двух МПЭ образцов с $n_s = 3 \cdot 10^{11}$ (2) и $n_s = 0.8 \cdot 10^{11} \text{ см}^{-2}$ (3).

На вставках: а — энергетическая диаграмма гетероперехода с резкой границей раздела и схема возникновения ОФП; б — энергетическая диаграмма гетероперехода с размытой гетерограницей [10]; гетеропереход с резкой гетерограницей показан пунктиром.

Используя (2), (3) и результат интегрирования уравнения Пуассона в обедненном слое AlGaAs, найдем связь между δ и β и получим уравнение для определения β в виде

$$\Delta E_c \left(1 - \frac{\beta^3}{1 + \beta^3} \right) = \Delta E + \left(\frac{\hbar^2}{2m} \right)^{1/2} \left[\frac{4\pi e^2 n_s}{\varepsilon(1 + \beta)^3} \right]^{1/2} (2.338 - 1.506\beta + 0.188\beta^2). \quad (4)$$

При $\Delta E_c = (250 \pm 5) \text{ мэВ}$, $n_s = 3.6 \cdot 10^{11} \text{ см}^{-2}$, $\Delta E = 140 \text{ мэВ}$ численное решение уравнения (4) дает $\beta \approx 0.6 - 0.8$. Таким образом, $\delta = \beta^3 \varepsilon \Delta E_c / 4\pi e n_s \sim (1 \div 2) \times 10^{-6} \text{ см}$.

Различие в степени размытия гетерограницы в ЖФЭ и МПЭ образцах определяет также разный характер спектральной зависимости ОФП вблизи E_F . МПЭ образцы характеризуются наличием хвоста сигнала ОФП при $h\nu \leq \Delta E$. В координатах $\ln(\Delta R/R) \sim (\Delta E - h\nu)^{-1/2}$ этот участок спектра представляет собой прямую линию (рис. 3) с углом наклона $\alpha = 1.7 \cdot 10^{-2} \text{ мэВ}^{-1/2}$. Если считать, что он соответствует туннелированию электронов через треугольный потенциальный барьер, то [11]

$$\alpha = 4 \sqrt{2m/3\hbar e F}, \quad (5)$$

где m — эффективная масса электронов, F — электрическое поле на гетерогранице. Расчет по формуле (5) для $n_s = 3 \cdot 10^{11} \text{ см}^{-2}$ и $m = 0.067 m_0$ дает значение $\alpha = 1.4 \cdot 10^{-2} \text{ мэВ}^{-1/2}$, совпадающее с экспериментом в пределах ошибки.

Используя значения ΔE для образцов с разными n_s , можно определить величину

$$\Delta E_c = E_0 + \Delta E \quad (6)$$

и проверить справедливость модели треугольной ямы для ДЭГ в гетеропереходе.

Для треугольной потенциальной ямы [12]

$$E_0 = \left(\frac{\hbar^2}{2m} \right)^{1/2} \left[\frac{4\pi e^2 n_s}{\epsilon} \right]^{1/2} = \propto n_s^{1/2}. \quad (7)$$

Если это приближение справедливо, то должно соблюдаться соотношение

$$\propto n_s^{1/2} + \Delta E = \text{const.} \quad (8)$$

Подставляя в (8) экспериментальные значения ΔE для кривых 2 и 3 на рис. 2, получим $\propto = 10.4 \cdot 10^{-7}$ мэВ·см $^{1/2}$, а $E_0 = 47$ мэВ ($n_s = 3 \cdot 10^{11}$ см $^{-2}$). Согласно (7), $E_0 = 48.7$ мэВ для той же n_s .

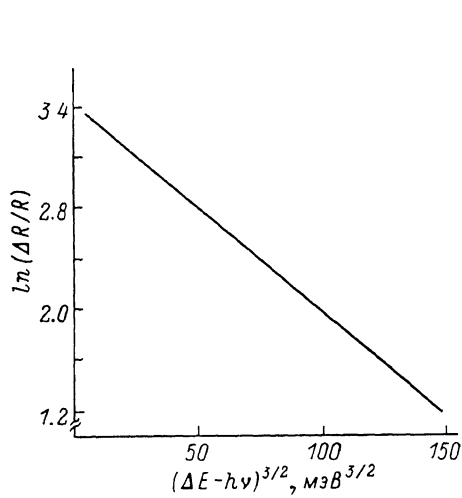


Рис. 3. Зависимость $\ln(\Delta R/R)$ от $(\Delta E - h\nu)^{1/2}$, полученная из участка кривой 2 рис. 2 в области $E_R \div \Delta E$.

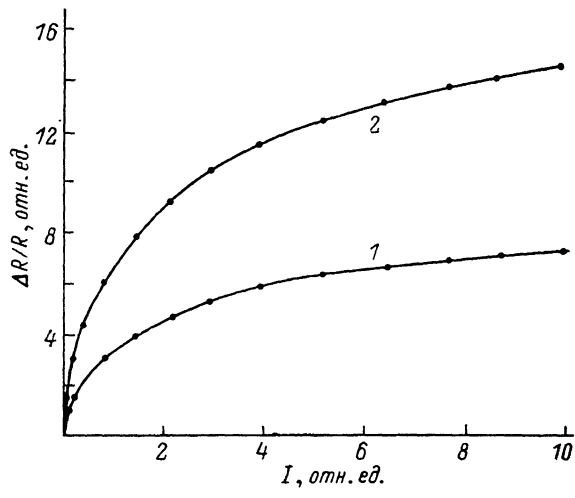


Рис. 4. Зависимость величины ОФП от интенсивности света.

$h\nu$, мэВ: 1 — 197, 2 — 208.

Таким образом, модель треугольной ямы в исследованных нами МПЭ обрацах выполняется с хорошей степенью точности.

Подставив значение E_0 в (6), получим $\Delta E_c = 240$ мэВ, что соответствует $\Delta E_c / \Delta E_g = 0.59 \pm 0.01$. Ошибка в определении $\Delta E_c / \Delta E_g$ связана с тем, что величина ΔE , определяемая в эксперименте с точностью до $E_F - E_0 \approx 10 \div 12$ мэВ, может соответствовать расстоянию до максимума дна зоны проводимости в AlGaAs как от E_F , так и от дна первой размерной подзоны.

Для подробного описания зависимости сигнала ОФП от $h\nu$ и интенсивности света I следует рассмотреть кинетику переноса электронов через границу раздела. Рассмотрим следующие процессы.

1. Оптическое возбуждение электронов из двумерного канала в область энергий $E > \Delta E_c$ со скоростью G_1 (энергия отсчитывается от дна зоны проводимости GaAs на гетеропереходе).

2. Релаксация «горячих» электронов по энергиям в GaAs со временем τ_1 за счет излучения оптических фононов. Типичные значения $\tau_1 \approx 10^{-12}$ с.

3. Переход электронов из GaAs в AlGaAs над барьером. Вероятность такого процесса D/τ_{12} , где D — коэффициент квантово-механического прохождения над барьером, а τ_{12} характеризует время расплывания волнового пакета возбужденных светом электронов. Из соотношения неопределенности $\tau_{12} \geq \hbar/\Delta$, где $\Delta = E - E_0 - h\nu$ — энергетическая ширина волнового пакета в начальные моменты времени (E — энергия конечного состояния, E_0 — энергия началь-

ного состояния, совпадающая с дном первой размерной подзоны). Если считать, что $E \geq \Delta E_c$ и $h\nu \approx 250$ мэВ, то $\Delta \leq 50$ мэВ и $\tau_{12} \geq 10^{-13}$ с.

4. Релаксация электронов по энергии в AlGaAs со временем τ_2 ; $\tau_2 \approx \tau_1 \approx 10^{-12}$ с.

5. Возвращение электронов из AlGaAs в двумерный канал со временем τ .

При больших интенсивностях света следует включить в рассмотрение еще некоторые процессы.

6. Возбуждение электронов с E_F в AlGaAs над барьером (скорость генерации G_2).

7. Переход электронов из AlGaAs в GaAs над барьером с вероятностью D/τ_{21} . Уравнения, описывающие эти процессы, имеют вид

$$\frac{dn_1}{dt} = G_1 - \frac{n_1}{\tau_1} - \frac{Dn_1}{\tau_{12}} + \frac{Dn_2}{\tau_{21}} \equiv G_1 - \frac{n_1}{\tau_0} + \frac{Dn_2}{\tau_{21}}, \quad (9)$$

$$\frac{dn_2}{dt} = G_2 - \frac{n_2}{\tau_2} - \frac{Dn_2}{\tau_{21}} + \frac{Dn_1}{\tau_{12}}, \quad (10)$$

$$\frac{dN_2}{dt} = \frac{n_2}{\tau_2} - \frac{N_2}{\tau} - G_2, \quad (11)$$

$$\frac{dn}{dt} = -G_1 + \frac{n_1}{\tau_1} + \frac{N_2}{\tau}. \quad (12)$$

Здесь n_1 — концентрация «горячих» электронов в GaAs ($E > \Delta E_c$), n_2 — концентрация «горячих» электронов в AlGaAs ($E > \Delta E_c$), N_2 — концентрация электронов в AlGaAs с $E \sim E_F$, n — концентрация электронов в двумерном канале при освещении; $[n_1, n_2, N_2, n] = \text{см}^{-2}$.

При слабых интенсивностях, когда можно не учитывать процессы 6 и 7, совместное решение уравнений (9)–(12) с начальными условиями $n_1 = n_2 = N_2 = 0$, $n = n_s$ при $t = 0$ дает следующее выражение для $n(t)$:

$$\Delta n(t) = n_s - n(t) = \frac{DG_1\tau_0\tau}{\tau_{12}} (1 - e^{-t/\tau}) + o\left(\frac{\tau_0}{\tau}\right) + o\left(\frac{\tau_2}{\tau}\right). \quad (13a)$$

Время спада ОФП $\tau \gg \tau_{12}, \tau_2, \tau_0$, поэтому членами $\sim \tau_2/\tau, \tau_0/\tau$ в (13a) можно пренебречь. В стационарных условиях при $t \rightarrow \infty$

$$\Delta n = DG_1\tau/D + \alpha, \quad \alpha = \tau_{12}/\tau_1. \quad (13b)$$

При больших интенсивностях стационарное значение концентрации электронов в двумерном канале

$$\Delta n = \frac{G_1 D \tau}{D + \alpha} - \frac{G_2 D^2 \tau}{D + \alpha} \frac{\tau_0}{\tau_{21}}, \quad \alpha = \frac{\tau_{12}}{\tau_1}. \quad (14)$$

Из (13) и (14) видно, что $\Delta n \propto I$, но коэффициент пропорциональности уменьшается с увеличением I за счет включения оптических переходов в AlGaAs. Качественно зависимость Δn от I согласуется с экспериментальной, представленной на рис. 4.

Максимум на зависимости ОФП от $h\nu$ можно объяснить конкуренцией двух эффектов — увеличения квантово-механического прохождения электронов над барьером и уменьшения скорости оптической генерации с увеличением $h\nu$.

Зададим зависимость $G(\nu)$ в виде

$$G(\nu) = G_0/\nu^\beta. \quad (15)$$

Коэффициент квантово-механического прохождения над треугольным барьером [11]

$$D = \frac{4\sqrt{E(E - \Delta E_c)}}{(\sqrt{E} + \sqrt{E - \Delta E_c})^2} \quad (16)$$

при условии

$$\left[\frac{2m}{\hbar^2(eF)^2} \right]^{1/2} \Delta E_c \left| 1 - \frac{E}{\Delta D_c} \right| \gg 1.$$

Подставим (15) и (16) в (13). Из условия $d(\Delta n)/dv=0$ получим уравнение для определения q

$$q = h v_{\infty} \frac{(\sqrt{E} + \sqrt{E - \Delta E_c})^2}{2E(E - \Delta E_c)} \frac{\alpha}{D(v_{\infty}) + \alpha}, \quad (17)$$

где ν_m — частота, при которой имеет место максимум спектральной характеристики ОФП.

Для $\Delta E_c = 250$ мэВ, $h\nu_m = 250$ мэВ, $n_s = 3 \cdot 10^{11}$ см⁻² и $E_0 = 48$ мэВ

$$q = 0.4 \frac{\alpha}{0.9 + \alpha}.$$

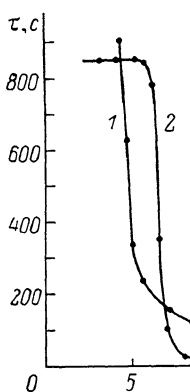
Отсюда следует, что $q < 1$, т. е. сечение поглощения

$$S(v) = G\hbar v / In_s \sim v^{1-q}$$

сублинейно возрастает с увеличением энергии фотона.

На сублинейное увеличение $S(\nu)$ указывают также оценки величины q из экспериментальной зависимости ОФП от $h\nu$ при $\nu > \nu_n$.

Механизм фотоионизации электронов из двумерного канала остается до конца не ясным. Общепринято представление, что при поляризации света в плоскости гетероперехода возбуждение двумерных электронов происходит



удаление двух ярких блоков. Тогда бы это было только за счет поглощения на свободных носителях. В этом случае должно быть $q=4$ (см., например, [13]), что не согласуется с нашими результатами. Возрастание сечения фотоионизации с $h\nu$ и отсутствие зависимости сигнала ОФП от поляризации света заставляют предположить, что приближение эффективной массы, повсеместно используемое для расчета оптических явлений в ДЭГ, не применимо в гетеропереходах GaAs-AlGaAs.

- Рис. 5. Зависимость времени релаксации ОФП от температуры для МПЭ (1) и ЖФЭ образцов (2).

Для выяснения механизма возврата электронов в двумерный канал были исследованы температурные зависимости $\Delta R/R$, τ и G в интервале 2–55 К.

На рис. 5 представлены зависимости τ от T как для МПЭ, так и для ЖФЭ образцов. Видно, что в ЖФЭ образцах эта зависимость имеет плато в интервале $2 \div 6$ К, а при более высоких температурах наблюдается экспоненциальное уменьшение τ с энергией активации $E_a = 7$ мэВ. В МПЭ образцах $E_a \approx 2$ мэВ, поэтому плато в исследованном интервале температур не наблюдалось. Оценки вероятности прямого туннелирования электронов из AlGaAs в двумерный канал под барьером для типичных гетеропереходов с резким барьером дают величину $\sim 10^6$ с, что существенно больше значений, наблюдавшихся в эксперименте. Поэтому предлагается следующая качественная картина процесса возврата: электрон, попавший в результате релаксации по энергиям на примесные состояния в AlGaAs, мигрирует по примесной зоне вдоль границы раздела в поисках «узких» мест, по которым туннельный эффект облегчен либо за счет изменения высоты барьера, либо за счет уменьшения толщины «спейсера» или слоя пространственного заряда. В этом случае прорабатываемая энергия активации есть просто энергия активации прыжковой проводимости по примесной зоне с участием фононов ϵ_3 .

Согласно [14], в слабо компенсированном материале

$$\epsilon_3 \simeq e^2 N^{1/3} / \epsilon,$$

где N — концентрация примесей.

В нашем случае $N \approx 10^{17}$ см⁻³ и $\epsilon_3 \approx 5$ мэВ, что качественно согласуется с экспериментом.

Предложенную качественную картину подтверждают измерения зависимости τ от магнитного поля при $H \leq 50$ кЭ. В случае прямого туннелирования зависимость τ (H) должна была бы иметь осциллирующий характер, отражая осцилляции плотности состояний в ДЭГ. В эксперименте осцилляций τ (H) не наблюдалось. Обнаружен лишь слабый монотонный спад τ с увеличением магнитного поля.

В заключение авторы выражают глубокую благодарность В. Б. Сандомирскому за постоянное внимание и интерес к работе, а также Ю. В. Шмарцеву, А. Я. Шику, Б. И. Шкловскому и А. Л. Эфросу за обсуждение результатов.

Л и т е р а т у р а

- [1] Грибников З. С. — ФТП, 1972, т. 6, в. 8, с. 1380—1382.
- [2] Hess K., Morkoc H., Streetman B., Shichijo H. — Appl. Phys. Lett., 1979, v. 35, N 6, p. 469—471.
- [3] Dingle R., Wiegmann W., Henry C. H. — Phys. Rev. Lett., 1974, v. 33, N 14, p. 827—830.
- [4] Duggan G. — J. Vac. Sci. Techn., 1985, v. B3, N 4, p. 1224—1230.
- [5] Shubert E. F., Fisher A., Ploog K. — Phys. Rev., 1985, v. B31, N 12, p. 7937—7946.
- [6] Гродненский И. М., Старостин К. В., Галченков Д. В. — Письма ЖЭТФ, 1985, т. 43, в. 1, с. 54—56.
- [7] Галченков Д. В., Гродненский И. М., Засавицкий И. И., Старостин К. В., Мокеров В. Г., Медведев Б. К., Хабаров Ю. В. — ФТП, 1987, т. 21, в. 8, с. 1522—1524.
- [8] Wang W. I., Stern F. — J. Vac. Sci. Techn., 1985, v. B3, N 4, p. 1280—1284.
- [9] Волков В. А., Гродненский И. М. — Микроэлектрон., 1982, т. 11, в. 3, с. 195—207.
- [10] Grinberg A. A., Shur M. S. — Appl. Phys. Lett., 1984, v. 45, N 5, p. 573—574.
- [11] Ландau Л. Д., Лифшиц Е. М. Квантовая механика. М., 1974. 752 с.
- [12] Андо Т., Фаулер А., Стерн Ф. Электронные свойства двумерных систем. М., 1985. 415 с.
- [13] Шик А. Я. — ФТП, 1986, т. 20, в. 9, с. 1598—1604.
- [14] Шкловский Б. И., Эфрос А. Л. Электронные свойства легированных полупроводников. М., 1979. 416 с.

Институт радиотехники и электроники АН СССР
Москва

Получена 4.12.1987
Принята к печати 14.01.1988